

مقایسه رفتار لرزه‌ای قاب‌های مرکب تیر فولادی - ستون بتنی (RCS) تحت زلزله‌های حوزه نزدیک و دور از گسل*

محسن گرامی^(۱)علی خیرالدین^(۲)فرشته خراسانی^(۳)

چکیده در این پژوهش به بررسی نیاز لرزه‌ای سازه‌های مرکب RCS تحت زلزله‌های حوزه نزدیک گسل پرداخته شده است. به همین منظور تعداد ۵ قاب خمشی مرکب RCS با شکل‌پذیری متوسط و در طبقات ۴، ۷، ۱۰، ۱۵ و ۲۰ و ۵ دهانه ۵ و ۷ متری طراحی شد و سپس تحلیل دینامیکی غیرخطی توسط نرم افزار OpenSees بر روی سازه‌ها انجام شده است. نتایج بدست آمده نشان می‌دهد که جابجایی طبقات تحت زلزله‌های نزدیک گسل بیشتر از زلزله‌های حوزه دور می‌باشد به نحوی که با افزایش ارتفاع سازه، اختلاف میان آنها کاهش می‌یابد. سازه‌های بلند مرتبه دهانه ۷ متری در طبقات تحتانی و فوقانی زاویه دررفت ناشی از دور از گسل بیشتر از زاویه دررفت نزدیک گسل است.

واژه‌های کلیدی قاب خمشی مرکب (RCS)، زلزله‌های نزدیک گسل، زلزله دور از گسل، تحلیل دینامیکی غیرخطی، اثر طول دهانه.

Seismic Assessment of RCS Moment Frames under Near Fault Earthquakes

M. Gerami

A. Kheyroddin

F. Khorasani

Abstract In this research the seismic demand of RCS structures under the near-fault earthquakes is investigated. For this purpose 5 RCS intermediate moment frames with 4, 7, 10, 15 and 20 stories and 5 spans (span length 5 and 7m) were designed. Then nonlinear dynamic analysis was performed on the structures using the OpenSees software. Results show that the stories displacement under the near-fault earthquakes is larger than the far-fault earthquakes so that with increase in the structure height the difference between them decreases. In high rise structure with 7m length span, the drift-angle due to the far-fault earthquake is greater than the near-fault earthquake.

Key Words RCS Moment Frame, Near Fault Earthquake, Far Fault Earthquake, Nonlinear Dynamic Analysis, Span Length.

* تاریخ دریافت مقاله ۹۴/۱۲/۱۶ و تاریخ پذیرش آن ۹۶/۲/۲۷ می‌باشد.

Email: mgerami@semnan.ac.ir

(۱) نویسنده مسئول: دانشیار دانشکده مهندسی عمران، دانشگاه سمنان

(۲) استاد دانشکده مهندسی عمران، دانشگاه سمنان

(۳) کارشناسی ارشد مهندسی عمران گرایش زلزله، دانشگاه سمنان

مقدمه

قاب‌های خمشی مرکب (Reinforced Concrete) RCS در ایالات متحده و ژاپن در شروع به توسعه و کسب محبوبیت کردند. در ایالات متحده این سیستم به عنوان نسخه تغییر یافته قاب خمشی فولادی در مناطق با لرزه‌خیزی پایین و برای ساختمان‌های میان‌مرتبه تا بلندمرتبه استفاده شد. در ژاپن سیستم‌های مرکب RCS به صورت جایگزین قاب‌های خمشی بتن مسلح کوتاه‌مرتبه در مناطق با لرزه‌خیزی بالا توسعه یافت. هدف این کار، استفاده از قابلیت تیرهای فولادی در دهانه‌های بزرگ برای تامین فضای بدون ستون برای سازه‌های اداری کوتاه‌مرتبه و فروشگاه‌های کوچک بود [1].

با توجه به مجموعه مشکلاتی از قبیل صرف وقت و هزینه زیاد برای آرماتوربندی و قالب بندی تیرها برای ساختمانهای بتنی و کمانش و لاغری حاکم بر طرح ستون و صعوبت کار در ارتفاع و لزوم دقت زیاد در ساخت و ساز و نصب اسکلت‌های فلزی در ساختمان های فولادی، در دهه‌ی ۸۰ میلادی ایده سازه‌های ترکیبی (CFT) (Concrete Filled Tube)، RCS، SRC (Steel Reinforced Concrete) و... به منظور استفاده بهینه از مصالح شکل گرفت [2,3].

با توجه به استفاده از ستون‌های بتن مسلح و تیرهای فولادی در این قاب‌ها، خواص فولاد و بتن در این سازه‌ها دخالت می‌کنند به این صورت که از مقاومت فشاری بتن در ستون و از مقاومت کششی فولاد در تیر به نحوی استفاده می‌شود که باعث کم شدن سطح مقطع اعضا و لذا باعث پایین آمدن وزن ساختمان و کاهش هزینه‌های ساخت می‌شود. با کم شدن وزن سازه، نیروی وارد بر پی کاهش می‌یابد در نتیجه ضخامت کمتر و سطح کمتری برای پی حاصل می‌شود. استفاده از بتن در ستون به دلیل مقاومت فشاری بالا بهترین رفتار بتن و استفاده از فولاد در تیر به دلیل مقاومت کششی بالا بهترین رفتار فولاد را نتیجه

می‌دهند [3].

تاریخچه تحقیقات

تحقیقاتی که بر روی قاب‌های RCS، انجام شده عمدتاً روی رفتار کلی این قاب‌ها و بررسی رفتار اتصالات بوده است. در طول دهه ۱۹۸۰ حدود ۴۰۰ اتصال در ژاپن و ۱۷ اتصال در ایالات متحده آزمایش شد. خیلی از اتصالات آزمایش شده در ژاپن مشخصات خاصی توسط شرکت‌های ساختمانی ژاپنی با هدف اصلی اعتبار سنجی جزئیات اتصال خاص داشتند. علی‌رغم نتایج جالب از آزمایشات، مکانیزم انتقال نیروی داخلی مشخص نبود. البته گریفیس به بررسی مزیت‌های قاب RCS پرداخت که بر اساس نتایج بدست آمده، قاب‌های RCS در حدود ۱۵٪ نسبت به قاب‌های بتنی و فولادی با در نظر گرفتن کلیه عوامل اقتصادی تر می‌باشند. آزمایشات ایالات متحده شامل دو سری از آزمایشات می‌شد که توسط دیرلین و شیخ [3,4] در دانشگاه تگزاس اوستین انجام شده بود.

حسین اسدی مندی و همکاران به بررسی ضوابط طراحی سازه‌های مرکب بر اساس آیین نامه‌های AISC و EUROCODE و مقایسه فنی، اقتصادی آنها پرداخت. در این پژوهش مقاطع شامل تیر، ستون و دال مرکب می‌باشند. در مقاطع مرکب از مقطع فولادی، دال بتنی، اتصال دهنده برشی و میلگرد تقویتی استفاده می‌شود. مقاطع فولادی در پائین تیر مرکب قرار می‌گیرد و در دهانه‌های ساده به عنوان عضو کششی عمل می‌کند این مقطع روی شاه تیر تکیه می‌کند. در تیر مرکب دال بتنی که شامل بتن و میلگردهای تقویتی است روی مقطع فولادی قرار می‌گیرد و توسط اتصال دهنده‌های برشی به مقطع فولادی متصل می‌شود، این اتصال دهنده‌ها نیروی برشی افقی را بین بتن و فولاد انتقال می‌دهند. ساخت ستونهای مرکب بدین ترتیب است که در مقاطع فولادی جعبه‌ای بتن داخل مقطع ریخته می‌شود ولی در مقاطع فولادی باز بتن دور مقطع فولادی ریخته می‌شود.

سید علی حسینی و همکاران به تحلیل قابلیت اعتماد قاب‌های مختلط RCS پرداختند، بدین منظور پارامترهای بارگذاری، طول دهانه و عمق مؤثر به عنوان متغیرهای تصادفی در نظر گرفته شده‌اند. محاسبه قابلیت اعتماد سازه به روش تحلیل قابلیت اعتماد تراز ۲ انجام گرفت. قاب‌های ۴ دهانه با ارتفاع ۲ تا ۱۰ طبقه در نظر گرفته شدند و به وسیله نرم افزار اجزای محدود مدل شدند و تحلیل به صورت احتمالاتی انجام پذیرفت. در نهایت میزان تأثیر برخی متغیرهای تصادفی منظور شده روی قابلیت اعتماد سازه‌ها بررسی گردید. در نهایت نتایج نشان داد که با افزایش درجه نامعینی سازه مرکب از میزان قابلیت اعتماد سازه کاسته می‌شود این در حالیست که خلاف این نتیجه برای قاب‌های معمولی نتیجه می‌شود [۷].

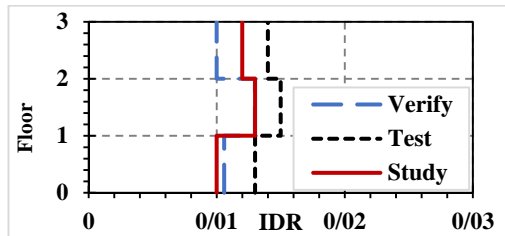
هومن حبیب آگهی و همکاران بر روی بهینه سازی عملکردی و اطمینان پذیری سازه‌های ترکیبی RCS تحقیق کردند در این تحقیق ابتدا مدل پیشنهادی اتصال تیر به ستون در سازه‌های ترکیبی با نرم افزار ABAQUS بررسی شده، سپس روند بهینه سازی این سازه‌ها توسط تئوری مورچگان با در نظر گرفتن ضوابط طرح عملکردی تشریح و در پایان هم نتایج یک مورد مطالعه عددی عرضه شده است. ارائه راهکارهایی جهت افزایش دقت در روند مدلسازی، تحلیل و طراحی به منظور استفاده حداکثر از مزایای ذاتی سیستم‌های ترکیبی در قیاس با سازه‌های رایج از اهداف این پژوهش می‌باشند [۸].

کاویان پرهیزکار و همکاران نیز به بررسی قاب‌های خمشی RCS تحت بارگذاری لرزه‌ای پرداختند، در این بررسی در بخش اول رفتار قاب‌های خمشی RCS به کمک تحلیل پوش اور برای قاب‌های یک تا چند دهانه و یک تا چند طبقه مورد بررسی قرار گرفت و در بخش دوم به بررسی رفتار اتصال ما بین تیر فولادی و ستون بتنی پرداخته شده است. در نهایت

برای افزایش مقاومت ستون‌های مرکب از میلگرد طولی و خاموت نیز همانند ستون‌های بتن مسلح استفاده می‌شود. در پایان این نتیجه حاصل شد که آئین نامه اروپا برای طراحی مقاطع مرکب کنترل‌های بیشتری را مدنظر قرار می‌دهد که این امر خود باعث طولانی‌تر شدن محاسبات می‌گردد. با توجه به کنترل‌های متعدد آئین نامه اروپا در طراحی مقاطع مرکب این نتیجه حاصل می‌شود که آئین‌نامه اروپا محافظه کارانه‌تر با طراحی اینگونه سازه‌ها برخورد می‌کند که از یک دید ممکن است سبب افزایش طول عمر مفید سازه باشد [۵].

سید علی حسینی و همکاران به بررسی اتصالات و تحلیل لرزه‌ای قاب مرکب فولادی و بتنی (RCS) پرداختند، در تحقیق مذکور دو بخش عمده رفتار خطی و غیرخطی این قاب‌ها مورد بررسی واقع شد. در بخش بررسی رفتار خطی قاب RCS، وزن، پرید ارتعاشی، اشکال مدی، تغییر مکان و توزیع نیروی برشی در ارتفاع سازه مورد بررسی قرار گرفته و نتایج با قاب خمشی بتنی و قاب خمشی فولادی مورد مقایسه قرار گرفتند. در بخش بررسی غیرخطی، قاب RCS به کمک تحلیل غیرخطی رانشی (پوش اور) مورد بررسی قرار گرفته است. بدین منظور مدل‌های مختلفی از قاب‌های ۲، ۳ و ۴ دهانه و با طول دهانه ۴، ۶، ۸ متر با تعداد طبقات ۲ تا ۱۰ طبقه، به‌عنوان نمونه‌های مورد بررسی از این نوع سازه‌ها انتخاب شده و با در نظر گرفتن دستورالعمل‌های FEMA-273 و ATC-40 در مدل‌سازی و تحلیل غیرخطی، مورد آنالیز واقع می‌گردند. با تعیین برش پایه متناظر با تشکیل نخستین مفصل پلاستیک، حد جاری شدن و حد گسیختگی. به محاسبه مقدار شکل‌پذیری و ضریب رفتار آنها پرداخته شده است. در پایان مقدار شکل‌پذیری قاب‌های خمشی مرکب ۲/۵ و مقدار ضریب رفتار آن ۵/۸۱ برآورد گردیده است [۶].

بخشی از این اختلاف می‌تواند ناشی از عدم در نظر گرفتن این کماتش باشد. و هم چنین به دلیل عدم مدل‌سازی اتصال RCS در قاب مورد بررسی در این تحقیق، اختلاف نتیجه حاصل شده است.



شکل ۱ صحت سنجی قاب سه طبقه مورد آزمایش

معرفی مدل‌ها

در این پژوهش تعداد ۵ قاب خمشی مرکب با شکل‌پذیری متوسط و در طبقات ۴، ۷، ۱۰، ۱۵ و ۲۰ و با تعداد ۵ دهانه ۵ و ۷ متری طراحی شده است که یک قاب به صورت شماتیک در شکل (۲) نشان داده شده است. تحلیل‌های دینامیکی غیرخطی با استفاده از نرم افزار OpenSees [13] تحت شتاب‌نگاشت‌های دور و نزدیک گسل بر روی مدل‌های مورد بررسی انجام می‌شود. که سازه‌های ۴ و ۷ طبقه نماینده سازه‌های کوتاه مرتبه، سازه‌های میان مرتبه ۱۰ و ۱۵ طبقه نماینده سازه‌های میان مرتبه و سازه ۲۰ طبقه نماینده سازه‌های بلندمرتبه هستند. در این تحقیق نتایج حاصل از تحلیل دینامیکی غیرخطی بر روی مدل‌های مورد بررسی ارائه می‌شوند و به منظور بررسی نیازهای لرزه‌ای قاب‌های خمشی مرکب تحت زلزله‌های دور و نزدیک گسل، نتایج حاصل از تحلیل دینامیکی غیرخطی تحت رکوردهای دور و نزدیک گسل مقایسه می‌شوند. به همین منظور تعداد ۱۰ رکورد نزدیک گسل و ۱۰ رکورد دور از گسل، بر روی سازه‌های انتخابی بررسی می‌شوند و نتایج به تفکیک ارائه خواهند شد. به‌منظور طراحی سازه‌ها برای مقاطع بتنی از آیین‌نامه [14] ACI 318-08 و مقاطع فولادی از [15] AISC 360-05 و برای بارگذاری جانبی از آیین‌نامه [16] ASCE 7-10 استفاده شده است (R=۵). و فرضیه‌های طراحی شامل خاک

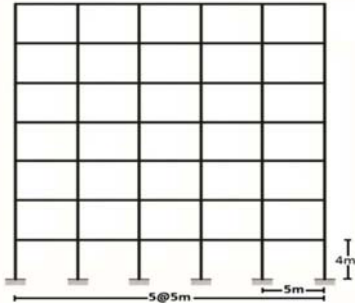
نتیجه کلی این بررسی بیانگر این موضوع بود که اتصالات RCS ظرفیت جانبی قاب را افزایش می‌دهند و تحت بارگذاری لرزه‌ای این قاب‌ها نسبت به نمونه مشابه قاب‌های خمشی بتنی و فولادی دارای جابجایی کمتری بودند [۹].

محمد حسین حبشی زاده و همکاران نیز به مدل‌سازی قاب‌های مختلط خمشی RCS و تأثیر رفتار اتصالات بر روی رفتار کلی این قاب‌ها پرداختند، در این تحقیق مدل‌سازی قاب‌های خمشی مختلط ویژه RCS توصیف گردید و تأثیر مدل‌سازی رفتار مدل‌سازی اتصالات بر روی رفتار کلی این قاب‌ها مورد بررسی قرار گرفت. قاب‌های خمشی مختلط ویژه RCS نوع جدیدی از قاب‌های خمشی ویژه هستند که در آن‌ها از ترکیب ستون‌های بتنی و تیرهای فولادی استفاده می‌شود. نحوه مدل‌سازی قاب‌های RCS و همچنین تأثیر مدل‌سازی رفتار اتصال بین تیر فولادی و ستون بتنی، روی رفتار کلی این قاب‌ها به وسیله مقایسه با اتصال RCS مورد بررسی قرار گرفت. نتایج کلی این بررسی نشان داد که مدل‌سازی اتصال RCS ظرفیت جانبی قاب را افزایش می‌دهد [۱۰].

صحت سنجی

چن و همکاران از مرکز تحقیقات زلزله تایوان به همراه دیرلین و کوردوا از دانشگاه استنفورد، نتایج آزمایشات قاب سه طبقه با مقیاس واقعی را مورد بررسی و مطالعه قرار دادند [11]. البته این آزمایش مربوط به رساله دکتری کوردوا در دانشگاه استنفورد بوده است [12]. در همین رساله اعتبار سنجی برای نتایج آزمایش قاب انجام گردید. لذا برای صحت سنجی این تحقیق از مشخصات قاب مورد آزمایش استفاده شد. طبق شکل (۱) نتیجه نسبت دریافت بین طبقه‌ای این صحت سنجی ارائه شده است. همانطور که در شکل مشخص است نتایج از اعتبار کافی برخوردار است. لازم به توضیح است که المان فایبر اثر غیرخطی شدن مصالح را در نظر می‌گیرد، این در حالیست که در مدل آزمایشگاهی غیرخطی شدن هندسی ناشی از کماتش موضعی نیز وجود دارد که

در جدول (۱) تا جدول (۵) مقاطع مورد استفاده برای سازه‌های دهانه ۵ متری و دهانه ۷ متری ارائه شده است.



شکل ۲ تصویر شماتیک از نمای سازه ۷ طبقه با ۵ دهانه ۵ متری

نوع III و منطقه با خطر نسبی زیاد است. مقاطع مورد استفاده در این قاب‌ها شامل مقاطع مستطیلی با آرماتورهای آجدار و تیوروق به ترتیب برای ستون‌ها و تیرها است. در نرم افزار OpenSees برای مقاطع بتنی از مصالح بتنی با جنس Concrete01 و برای مقاطع فولادی از مصالح فولادی با جنس Steel02 استفاده شده است. و همچنین فرض‌های زیر در نظر گرفته شدند: مقاطع سازه از جنس Fiber می‌باشد.

۱. المان‌های سازه از نوع المان تیر ستون غیرخطی (Nonlinear Beam-Column Element) می‌باشد.

۲. میرایی سازه ۵ درصد می‌باشد و در حین حال فرآیند تحلیل غیرخطی از دستور میرایی رایلی به منظور محاسبه میرایی سازه در هر گام تحلیل استفاده می‌شود.

جدول ۱ مقاطع مدل های ۴ طبقه

دهانه ۵ متری			
ستون‌ها	طبقات	تیرها	طبقات
C40-12Ø20	۱ و ۲	PG38X0.8X15X1.5	۱-۳
C40-12Ø18	۳ و ۴	PG32X0.6X15X1	۴
دهانه ۷ متری			
ستون‌ها	طبقات	تیرها	طبقات
C40x50-16Ø20	۱ و ۲	PG49X0.8X20X2	۱ و ۲
C40x40-12Ø20	۳ و ۴	PG48X0.8X15X1.5	۳
---	---	PG43X0.8X15X1.5	۴

جدول ۲ مقاطع مدل های ۷ طبقه

دهانه ۵ متری			
ستون‌ها	طبقات	تیرها	طبقات
C40x50-16Ø20	۱-۴	PG43X0.8X15X1.5	۱-۳
C40-12Ø20	۵-۷	PG38X0.8X15X1.5	۴-۶
----	----	PG32X0.6X15X1	۷
دهانه ۷ متری			
ستون‌ها	طبقات	تیرها	طبقات
C40x60-20Ø20	۱-۴	PG49X0.8X20X2	۱-۴
C40x50-16Ø20	۵-۷	PG48X0.8X15X1.5	۵
----	----	PG43X0.8X15X1.5	۶ و ۷

جدول ۳ مقاطع مدل های ۱۰ طبقه

دهانه ۵ متری			
ستون‌ها	طبقات	تیرها	طبقات
C40x60-20Ø20	۳-۱	PG48X0.8X15X1.5	۴-۱
C40x50-16Ø22	۶-۴	PG43X0.8X15X1.5	۶و۵
C40x40-12Ø20	۱۰-۷	PG38X0.8X15X1.5	۹-۷
----	----	PG32X0.6X15X1	۱۰
دهانه ۷ متری			
ستون‌ها	طبقات	تیرها	طبقات
C40x70-20Ø22	۴-۱	PG54X0.8X20X2	۴-۱
C40x60-20Ø20	۷-۵	PG49X0.8X20X2	۷-۵
C40x50-16Ø20	۱۰-۸	PG48X0.8X15X1.5	۹و۸
---	---	PG43X0.8X15X1.5	۱۰

جدول ۴ مقاطع مدل های ۱۵ طبقه

دهانه ۵ متری			
ستون‌ها	طبقات	تیرها	طبقات
C40x70-24Ø20	۴-۱	PG54X0.8X20X2	۳-۱
C40x60-20Ø20	۸-۵	PG49X0.8X20X2	۶-۴
C40x50-16Ø20	۱۲-۹	PG48X0.8X15X1.5	۹-۷
C40x40-12Ø20	۱۵-۱۳	PG43X0.8X15X1.5	۱۲-۱۰
---	---	PG38X0.8X15X1.5	۱۵-۱۳
دهانه ۷ متری			
ستون‌ها	طبقات	تیرها	طبقات
C40x80-24Ø25	۴-۱	PG64X0.8X20X2	۳-۱
C40x70-20Ø22	۸-۵	PG59X0.8X20X2	۷-۴
C40x60-20Ø20	۱۲-۹	PG54X0.8X20X2	۱۰-۸
C40x50-16Ø20	۱۵-۱۳	PG49X0.8X20X2	۱۲و۱۱
----	----	PG48X0.8X15X1.5	۱۴و۱۳
----	----	PG43X0.8X15X1.5	۱۵

جدول ۵ مقاطع مدل های ۲۰ طبقه

دهانه ۵ متری		
ستون‌ها	تیرها	طبقات
C40x80-20Ø22	PG54X0.8X20X2	۴-۱
C40x70-20Ø20	PG49X0.8X20X2	۸-۵
C40x60-20Ø20	PG48X0.8X15X1.5	۱۲-۹
C40x50-16Ø20	PG43X0.8X15X1.5	۱۶-۱۳
C40x50-12Ø20	PG38X0.8X15X1.5	۲۰-۱۷
دهانه ۷ متری		
ستون‌ها	تیرها	طبقات
C40x80-20Ø22	PG54X0.8X20X2	۴-۱
C40x70-20Ø20	PG49X0.8X20X2	۸-۵
C40x60-20Ø20	PG48X0.8X15X1.5	۱۲-۹
C40x50-16Ø20	PG43X0.8X15X1.5	۱۶-۱۳
C40x50-12Ø20	PG38X0.8X15X1.5	۲۰-۱۷

معرفی شتاب‌نگاشت‌ها

به منظور انجام تحلیل دینامیکی غیرخطی از ۱۰ شتاب‌نگاشت نزدیک گسل و ۱۰ شتاب‌نگاشت دور از گسل به ترتیب مطابق جدول (۶) و جدول (۷) استفاده شده است. تمامی نگاشت‌های مورداستفاده که از سایت [17] Peer دریافت شده است، دارای مشخصات مربوط به خاک نوع III بر اساس آیین‌نامه طراحی لرزه‌ای ایران (استاندارد ۲۸۰۰ [۱۸]) و یا خاک کلاس D براساس طبقه‌بندی دستورالعمل [19] FEMA 356 است. برای ترسیم طیف پاسخ ارتجاعی مختلف از نرم‌افزار SeismoSignal [20] استفاده شده است و کلیه شتاب‌نگاشت‌ها قبل از مقیاس‌سازی، به مقدار حداکثر شتاب (PGA) خود هم‌پایه شده‌اند.

به منظور تحلیل دینامیکی غیرخطی بر روی قاب‌های موردنظر از نرم‌افزار OpenSees استفاده شده است و نتایج مربوط به جابجایی، زاویه دررفت و برش

طبقات در ادامه ارائه شده است. رکوردهای انتخاب شده در این مطالعه، به مدل‌های مذکور اعمال شده و در نهایت میان پاسخ‌های به دست آمده میان گیری شده است. برای مقیاس سازی شتاب نگاشت‌ها نیز از روش مقیاس سازی استاندارد ۲۸۰۰ ویرایش چهارم [۱۸] استفاده شده است. نتایج این مقیاس‌سازی و پریرود ارتعاشی سازه در جدول (۸) آورده شده است.

ارزیابی قاب‌های خمشی مرکب تحت زلزله نزدیک گسل

در این بخش نتایج حاصل از تحلیل دینامیکی غیرخطی بر روی مدل‌های مورد بررسی ارائه می‌شوند و به منظور بررسی نیازهای لرزه‌ای قاب‌های خمشی مرکب تحت زلزله‌های دور و نزدیک گسل، نتایج حاصل از تحلیل دینامیکی غیرخطی تحت رکوردهای دور و نزدیک گسل مقایسه می‌شوند. همانطور که در بخش قبل بیان

هر دو حوزه به گونه‌ای هستند که نتایج حاصل از آنها قابل مقایسه با یکدیگر باشند.

در شکل (۳) تا شکل (۱۲) نتایج جابجایی و زاویه دررفت طبقات سازه‌های با دهانه ۵ متری حاصل از شتاب‌نگاشت‌های دور و نزدیک از گسل برای سازه‌های مختلف ارائه شده است.

شد، از آنجا که تمامی نگاشت‌های مورد استفاده دارای مشخصات مربوط به خاک نوع III بر اساس آیین‌نامه طراحی لرزه‌ای ایران (استاندارد ۲۸۰۰ [۱۸]) و یا خاک کلاس D بر اساس طبقه‌بندی دستورالعمل FEMA [19] 356 است. و کلیه شتاب‌نگاشت‌ها قبل از مقیاس‌سازی، به مقدار حداکثر شتاب (PGA) خود هم‌پایه شده‌اند، لذا استدلال می‌گردد که رکوردهای زلزله انتخاب شده در

جدول ۶ مشخصات شتاب‌نگاشت‌های حوزه نزدیک گسل مورد استفاده در این مطالعه

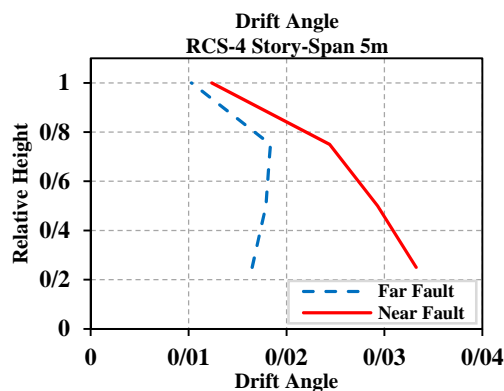
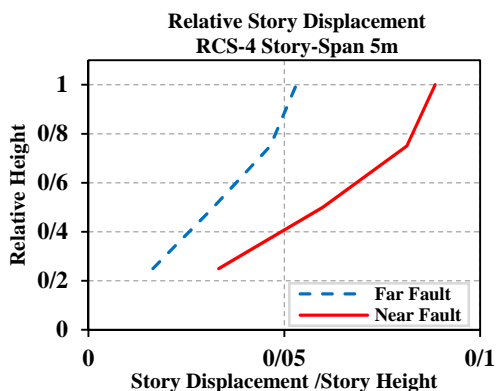
Near Fault Records								
Num	Earthquake name	Date [yy-mm-dd]	Station	R [Km]	PGA [g]	PGV [cm/sec]	PGD [cm]	Magnitude
1	Chi-Chi, Taiwan,	۱۹۹۹/۹/۲۰	TCU051	۷/۶۶	۰/۲۰	۴۱/۲	۵۹/۱۹	۷/۶۲
2	Chi-Chi, Taiwan,	۱۹۹۹/۹/۲۰	TCU055	۶/۳۶	۰/۲۱	۳۶/۸۷	۲۲/۰۲	۷/۶۲
3	Imperial Valley-06	۱۹۷۹/۱۰/۱۵	El Centro Array #7	۰/۵۶	۰/۴۲	۷۹/۱۵	۴۰/۸۳	۶/۵۳
4	Erzican, turkey	۱۹۹۲/۳/۱۳	95 Erzincan	۴/۳۸	۰/۴۸	۷۲/۹۵	۲۴/۷۹	۶/۶۹
5	LomaPrieta,	۱۹۸۹/۱۰/۱۸	Gilroy - Historic Bldg.	۱۰/۹۷	۰/۲۶	۳۱/۳۷	۶/۴۲	۶/۹۳
6	LomaPrieta,	۱۹۸۹/۱۰/۱۸	Gilroy Array #2	۱۱/۰۷	۰/۳۵	۳۵/۱۰	۸/۵۴	۶/۹۳
7	Northridge	۱۹۹۴/۱/۱۷	DWP 75 Sylmar-Converter	۵/۱۹	۰/۶۴	۹۵/۰۷	۳۳/۴۳	۶/۶۹
8	Northridge	۱۹۹۴/۱/۱۷	DWP 74 Sylmar-Converter	۵/۳۵	۰/۷۱	۱۰۹/۳۸	۵۲/۳۵	۶/۶۹
9	Kobe, Japan	۱۹۹۵/۱/۱۶	Takatori	۱/۴۷	۰/۶۵	۱۱۷/۱۴	۳۳/۰۶	۶/۹
10	Kobe, Japan,	۱۹۹۵/۱/۱۶	KJMA	۰/۹۶	۰/۷۱	۷۷/۸۳	۱۸/۸۷	۶/۹

جدول ۷ مشخصات شتاب‌نگاشت‌های حوزه دور از گسل مورد استفاده در این مطالعه

Far Fault Records								
Num	Earthquake name	Date [yy-mm-dd]	Station	R [Km]	PGA [g]	PGV [cm/sec]	PGD [cm]	Magnitude
1	Manjil, Iran	۱۹۹۰/۶/۲۰	Tonekabun	۹۳/۶۲	۰/۱۱	۱۴/۴۳	۴/۸۳	۷/۳۷
2	Manjil, Iran,	۱۹۹۰/۶/۲۰	Qazvin	۴۹/۹۷	۰/۱۳	۱۰/۸۹	۳/۳۶	۷/۳۷
3	Chi-Chi, Taiwan,	۱۹۹۹/۹/۲۰	CHY065	۸۳/۴۳	۰/۱۰	۱۳/۶۶	۸/۱۰	۷/۶۲
4	Chi-Chi, Taiwan,	۱۹۹۹/۹/۲۰	TAP095	۱۰۹/۰۱	۰/۱۳	۱۹/۹۳	۹/۰۴	۷/۶۲
5	Kobe, Japan,	۱۹۹۵/۱/۱۶	HIK	۹۵/۷۲	۰/۱۴	۱۴/۸۱	۲/۳۱	۶/۹
6	Tabas, Iran,	۱۹۷۸/۹/۱۶	Ferdows	۹۱/۱۴	۰/۱۰	۷/۰۸	۷/۱۸	۷/۳۵
7	Northridge,	۱۹۹۴/۱/۱۷	Featherly Park - Maint	۸۲/۳۲	۰/۱۰	۶/۵۸	۰/۶۶	۶/۶۹
8	Loma Prieta	۱۹۸۹/۱۰/۱۸	SF Intern. Airport	۵۸/۶۵	۰/۲۸	۲۴/۵۲	۴/۸۰	۶/۹۳
9	Loma Prieta	۱۹۸۹/۱۰/۱۸	Oakland - Title & Trust	۷۲/۲۰	۰/۲۰	۲۷/۶۱	۵/۹۴	۶/۹۳
10	Loma Prieta	۱۹۸۹/۱۰/۱۸	Oakland - Outer Harbor Wharf	۷۴/۲۶	۰/۲۸	۴۱/۸۶	۹/۶۰	۶/۹۳

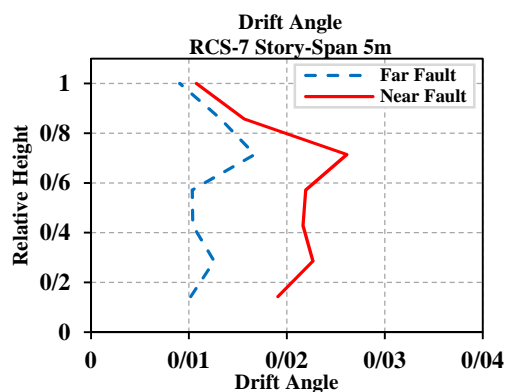
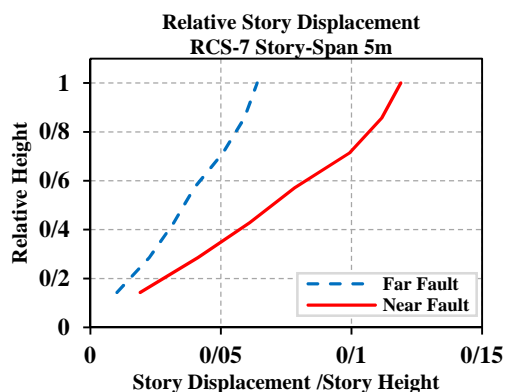
جدول ۸ نتایج مقیاس‌سازی رکوردهای مورد مطالعه و پیرو ارتعاشی هر سازه

تعداد طبقات	طول دهانه	ضریب مقیاس رکوردهای نزدیک گسل	ضریب مقیاس رکوردهای دور از گسل	پیرو ارتعاشی سازه
۴	۵	۰/۵۶۶	۰/۵۶۱	۰/۵
	۷	۰/۵۹	۰/۵۶۱	
۷	۵	۰/۵۵۲	۰/۵۳	۰/۷۶۱
	۷	۰/۵۶	۰/۵۴۴	
۱۰	۵	۰/۵۶	۰/۵۶	۰/۹۹
	۷	۰/۵۶	۰/۵۷	
۱۵	۵	۰/۶	۰/۷۸۸	۱/۳۵
	۷	۰/۵۵	۰/۷۸۲	
۲۰	۵	۰/۶۸۵	۱/۰۵	۱/۶۷
	۷	۰/۶۹	۱/۰۶	



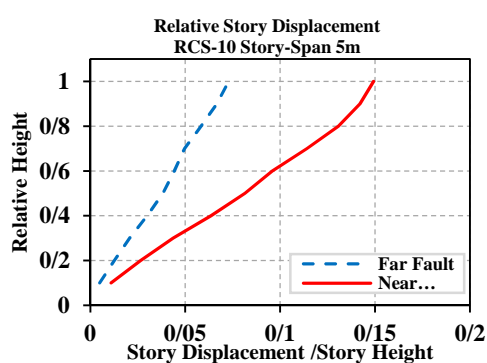
شکل ۴ جایجایی طبقات سازه ۴ طبقه

شکل ۳ زاویه دررفت طبقات سازه ۴ طبقه

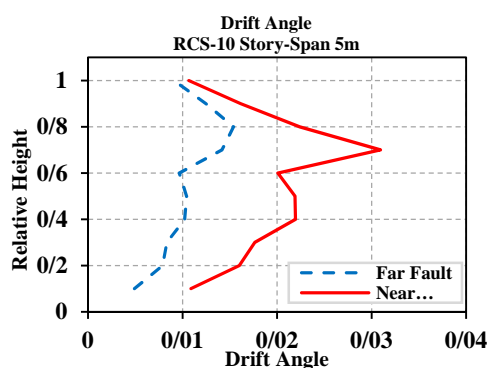


شکل ۶ جایجایی طبقات سازه ۷ طبقه

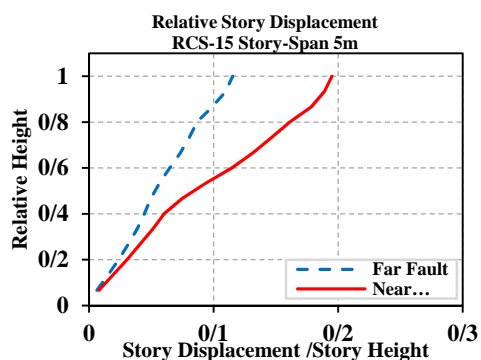
شکل ۵ زاویه دررفت طبقات سازه ۷ طبقه



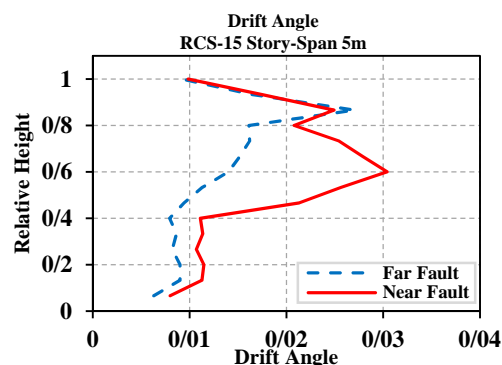
شکل ۸ جابجایی طبقات سازه ۱۰ طبقه



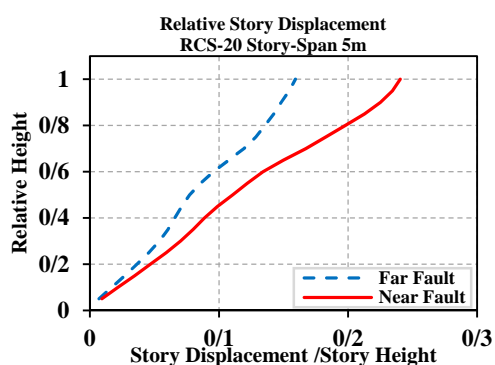
شکل ۷ زاویه دررفت طبقات سازه ۱۰ طبقه



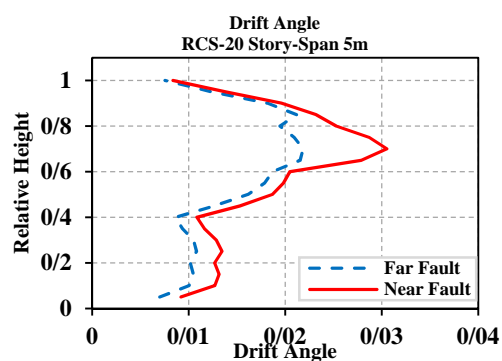
شکل ۱۰ جابجایی طبقات سازه ۱۵ طبقه



شکل ۹ زاویه دررفت طبقات سازه ۱۵ طبقه



شکل ۱۲ جابجایی طبقات سازه ۲۰ طبقه



شکل ۱۱ زاویه دررفت طبقات سازه ۲۰ طبقه

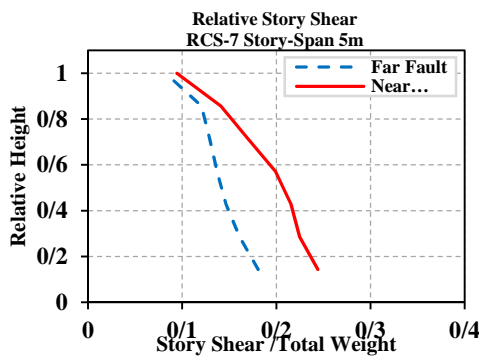
بیشتر از جابجایی ناشی از زلزله‌های دور از گسل می‌باشد. در زلزله‌های نزدیک گسل انرژی ورودی به سازه در طبقات پایین مستهلک شده و انرژی کمتری در مقایسه با زلزله دور از گسل به طبقات فوقانی سازه منتقل می‌شود. به همین دلیل اختلاف مقادیر زاویه دررفت طبقات فوقانی سازه‌ها تحت زلزله‌های دور و نزدیک گسل کاهش می‌یابد. این اثر با افزایش ارتفاع سازه افزایش می‌یابد به نحوی که در سازه ۴ و ۷ و ۱۰ طبقه در کلیه طبقات زاویه دررفت حاصل از زلزله‌های

در کلیه سازه‌های با دهانه ۵ متری، جابجایی و زاویه دررفت طبقات حاصل از زلزله‌های نزدیک گسل بیشتر از زلزله‌ی دور از گسل می‌باشد. این در حالی است که اختلاف میان جابجایی طبقات حاصل از زلزله‌های دور و نزدیک گسل با افزایش تعداد طبقات سازه‌های مختلف کاهش می‌یابد.

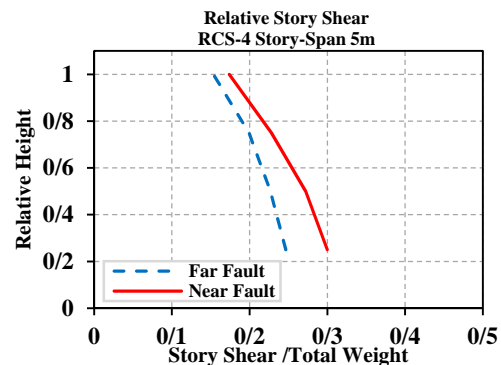
در حقیقت به دلیل بیشتر بودن انرژی ورودی به سازه در اثر زلزله‌های نزدیک گسل در کلیه سازه‌های مورد بحث جابجایی ناشی از زلزله‌های نزدیک گسل

سازه‌ها با دهانه ۵ متری تحت رکوردهای دور از گسل و نزدیک گسل نشان می‌دهد که برش طبقات در سازه‌های مورد بررسی ناشی از زلزله‌های نزدیک گسل به مراتب بیشتر از برش طبقات ناشی از زلزله‌های دور از گسل است. در سازه‌های ۱۵ و ۲۰ طبقه برش پایه به یکدیگر نزدیک شده‌اند. برش پایه با افزایش تعداد طبقات تحت زلزله نزدیک گسل کاهش می‌یابد.

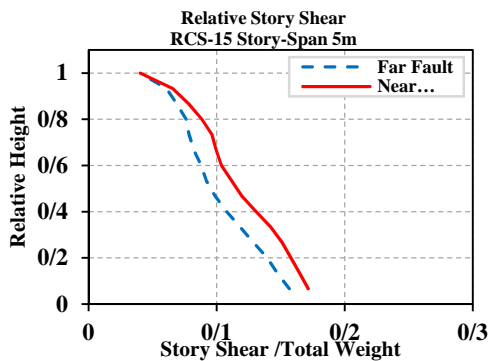
نزدیک گسل بیشتر از زلزله‌های دور گسل می‌باشد، در سازه ۱۵ و ۲۰ طبقه در ارتفاع طبقات فوقانی زاویه دریافت حاصل از زلزله‌های دور از گسل برابر با زاویه دریافت حاصل از زلزله‌های نزدیک گسل می‌باشد. در شکل (۱۳) نتایج برش حاصل از تحلیل دینامیکی غیرخطی بر روی مدل‌های مورد بررسی با دهانه ۵ متری تحت حوزه نزدیک گسل و دور از گسل ارائه می‌شوند. نتایج بررسی برش طبقات



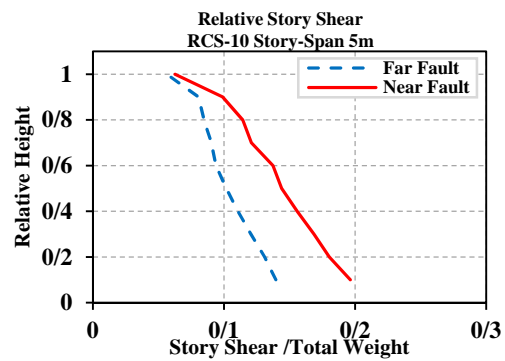
شکل ۱۴ برش طبقات سازه ۷ طبقه



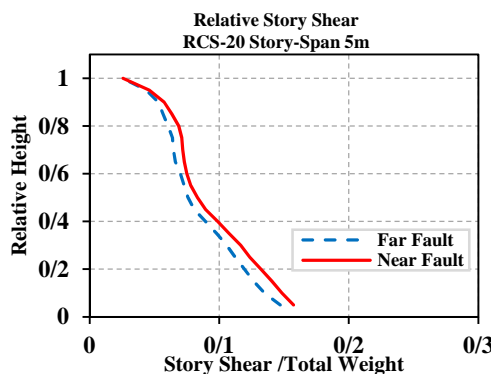
شکل ۱۳ برش طبقات سازه ۴ طبقه



شکل ۱۶ برش طبقات سازه ۱۵ طبقه



شکل ۱۵ برش طبقات سازه ۱۰ طبقه



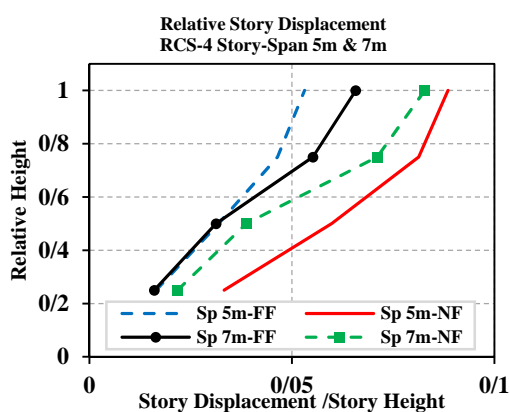
شکل ۱۷ برش طبقات سازه ۲۰ طبقه

گسل، مقایسه می‌گردند. مشخصات مقاطع سازه‌های مورد بررسی در جدول (۱) تا جدول (۵) آورده شده است. تحلیل‌های دینامیکی غیرخطی با استفاده از نرم افزار OpenSees تحت شتاب‌نگاشت‌های دور و نزدیک گسل بر روی مدل‌های مورد بررسی انجام می‌شود. در این بخش نتایج حاصل از تحلیل دینامیکی غیرخطی بر روی مدل‌های مورد بررسی ارائه می‌شوند.

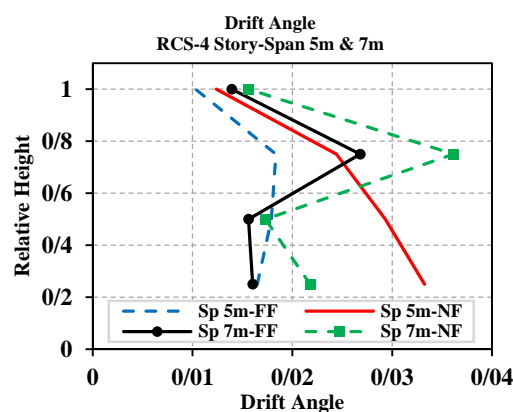
در شکل (۱۸) تا شکل (۲۷) نتایج جابجایی و زاویه دررفت طبقات حاصل از شتاب‌نگاشت‌های دور و نزدیک از گسل برای سازه‌های دهانه ۷ متری در مقایسه با دهانه ۵ متری ارائه شده است.

اثر طول دهانه در نتایج تحلیل دینامیکی سازه مرکب

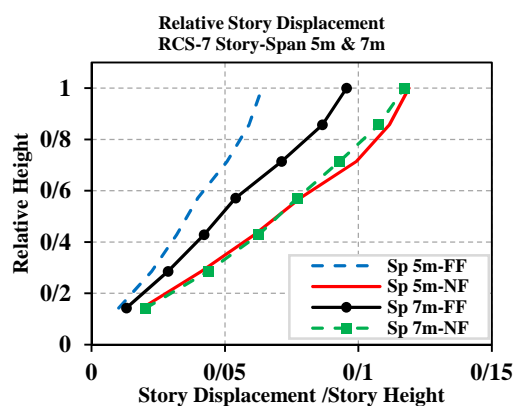
همانطور که پیش از این ذکر گردید، سیستم‌های مرکب RCS به منظور جایگزینی سیستم‌های رایج در مناطق با لرزه خیزی بالا برای استفاده از قابلیت‌های تیرهای فولادی در دهانه‌های بزرگ به عنوان یکی از مهمترین عوامل مورد استفاده قرار می‌گیرد. لذا در این بخش هدف این است که اثر بیشتر شدن طول دهانه در نتایج تحلیل مشاهده شود. در این بخش تعداد ۵ قاب خمشی مرکب با شکل‌پذیری متوسط و در طبقات ۴، ۷، ۱۰، ۱۵ و ۲۰ و با تعداد ۵ دهانه ۷ متری با قاب‌های دهانه ۵ متری به منظور بررسی اثر دهانه در نیازهای لرزه‌ای قاب‌های خمشی مرکب تحت زلزله‌های دور و نزدیک



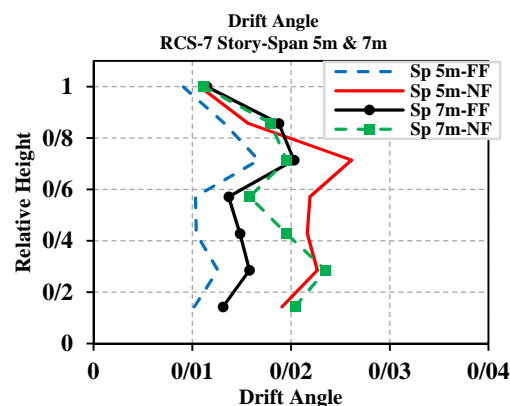
شکل ۱۹ جابجایی طبقات سازه‌های ۴ طبقه



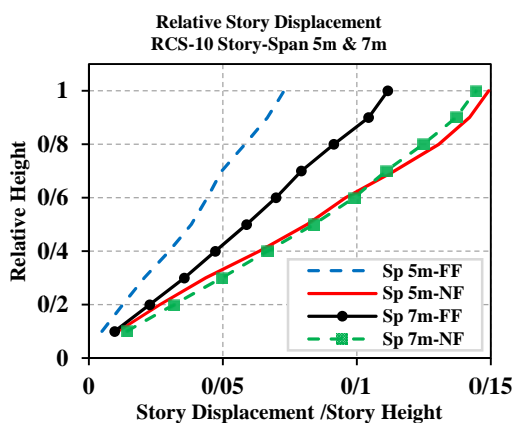
شکل ۱۸ زاویه دررفت طبقات سازه‌های ۴ طبقه



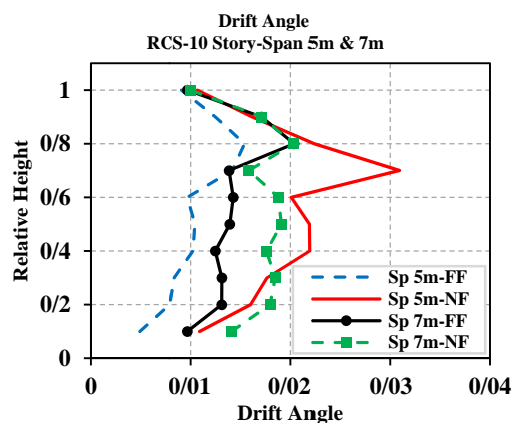
شکل ۲۱ جابجایی طبقات سازه‌های ۷ طبقه



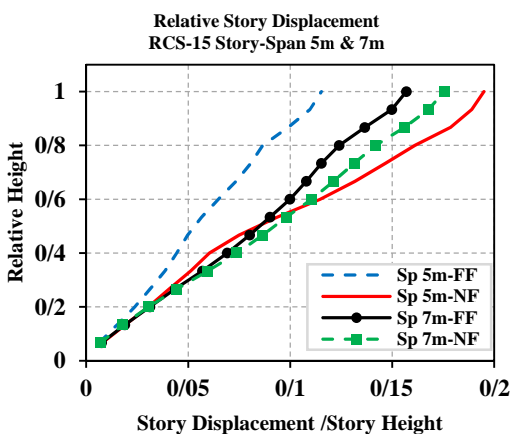
شکل ۲۰ زاویه دررفت طبقات سازه‌های ۷ طبقه



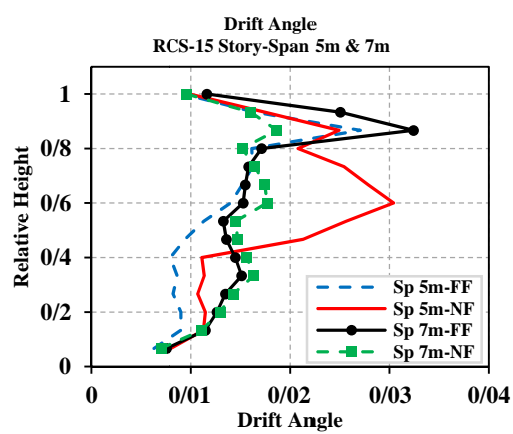
شکل ۲۳ جابجایی طبقات سازه‌های ۱۰ طبقه



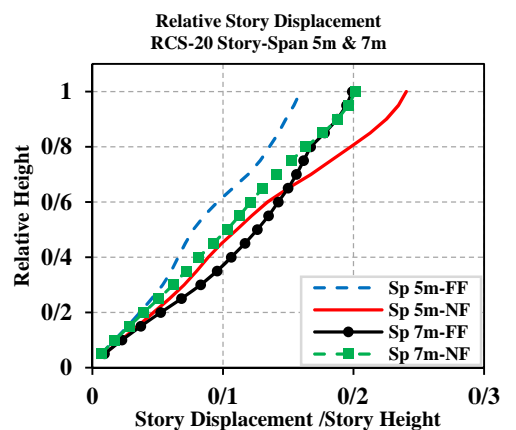
شکل ۲۲ زاویه دررفت طبقات سازه‌های ۱۰ طبقه



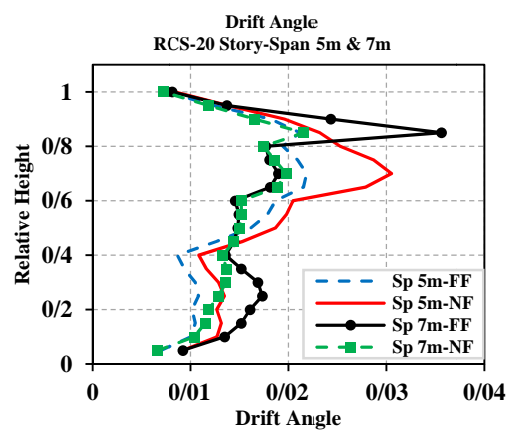
شکل ۲۵ جابجایی طبقات سازه‌های ۱۵ طبقه



شکل ۲۴ زاویه دررفت طبقات سازه‌های ۱۵ طبقه



شکل ۲۷ جابجایی طبقات سازه‌های ۲۰ طبقه



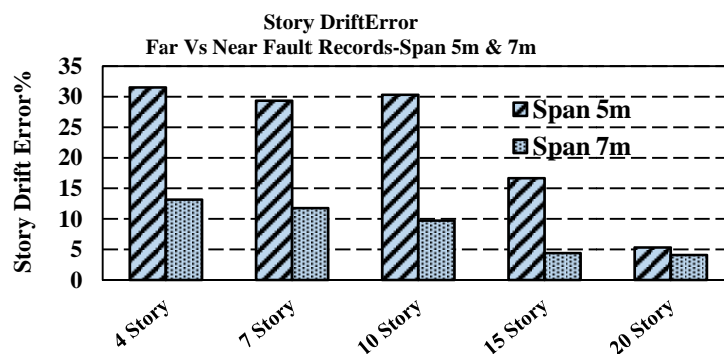
شکل ۲۶ زاویه دررفت طبقات سازه‌های ۲۰ طبقه

به‌منظور محاسبه درصد خطای هر روش از رابطه (۱) که توسط پینهو و همکاران معرفی شده است، استفاده می‌شود.

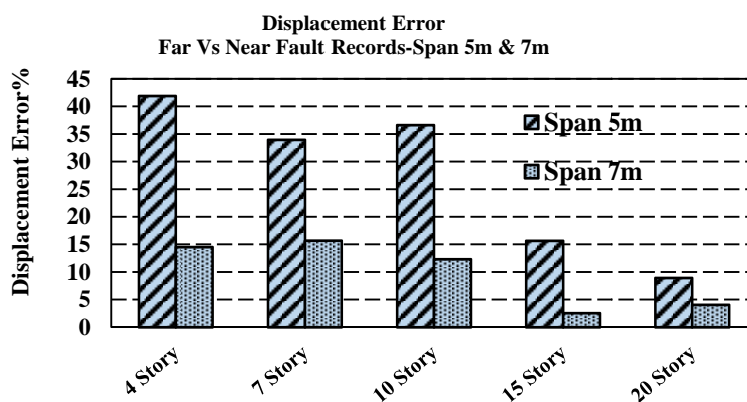
$$\text{Error}(\%) = \frac{100}{n} \sqrt{\sum_{i=1}^n \left(\frac{\Delta_{i\text{Far Fault}} - \Delta_{i\text{Near Fault}}}{\Delta_{i\text{Far Fault}}} \right)^2} \quad (1)$$

در رابطه فوق، n تعداد طبقات سازه، $\Delta_{i\text{Near Fault}}$ حداکثر تغییرمکان نسبی یا مطلق در طبقه i حاصل از تحلیل دینامیکی غیرخطی تحت رکوردهای نزدیک از گسل، $\Delta_{i\text{Far Fault}}$ حداکثر تغییرمکان نسبی یا مطلق در طبقه i حاصل از تحلیل دینامیکی غیرخطی تحت رکوردهای دور از گسل می‌باشد.

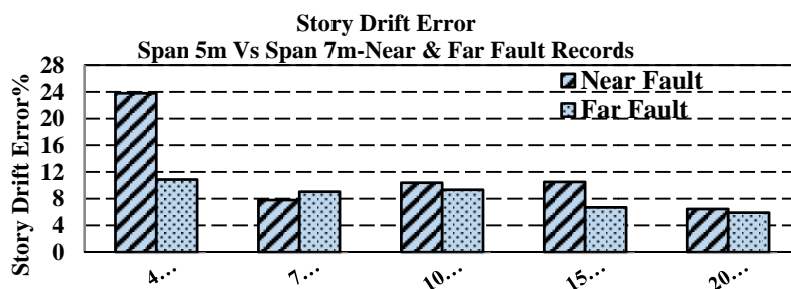
همانطور که از نمودارهای شکل (۱۸) تا شکل (۲۷) مشخص است دررفت و جابجایی ناشی از رکوردهای دور از گسل در سازه‌های با دهانه ۷ متری میزان بیشتری نسبت به سازه‌های با دهانه ۵ متری دارد. که البته با افزایش ارتفاع سازه این اختلاف کاهش می‌یابد. اما دررفت و جابجایی ناشی از زلزله‌های نزدیک از گسل در سازه‌های با دهانه ۷ متری مقادیر کمتری نسبت به سازه‌های با دهانه ۵ متری دارد. از طرفی سازه‌ها در برابر زلزله نزدیک گسل با افزایش ارتفاع، سازه‌های با دهانه ۷ متری نتایج زاویه دررفت کمتر و بهتری نسبت به سازه‌های با دهانه ۵ متری دارند. شکل (۲۸) و شکل (۲۹)، مقادیر اختلاف زاویه دررفت و جابجایی تحت رکوردهای دور از گسل را در مقایسه با شتاب‌نگاشت‌های نزدیک از گسل بین سازه‌های دهانه ۷ متری و دهانه ۵ متری نشان می‌دهد.



شکل ۲۸ اختلاف ناشی از رکوردهای نزدیک و دور از گسل در محاسبه زاویه دررفت طبقات در سازه‌های مورد مطالعه

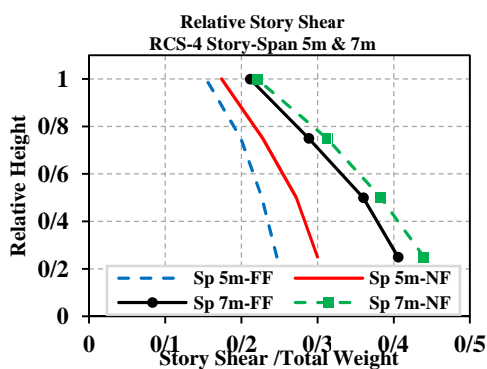


شکل ۲۹ اختلاف ناشی از رکوردهای نزدیک و دور از گسل در محاسبه جابجایی طبقات در سازه‌های مورد مطالعه

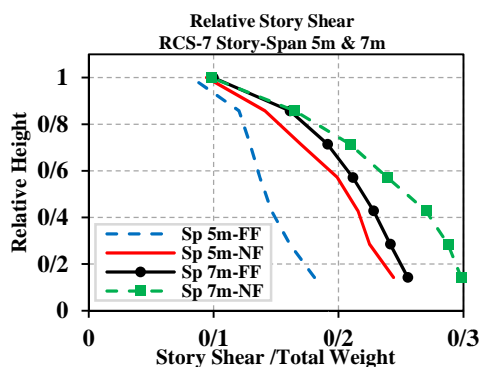


شکل ۳۰ اختلاف ناشی از اثر طول دهانه در محاسبه زاویه دررفت طبقات در سازه‌های مورد مطالعه تحت رکوردهای نزدیک و دور از گسل

نزدیک گسل است. و بیشترین اختلاف دررفت بین دهانه ۵ و ۷ متری مربوط به سازه ۴ طبقه تحت زلزله نزدیک گسل ۲۴ درصد است و کمترین اختلاف مربوط به سازه ۲۰ طبقه تحت زلزله دور از گسل حدود ۶ درصد است. در شکل (۳۱) تا شکل (۳۵) نتایج برش طبقات حاصل از شتاب‌نگاشت‌های دور و نزدیک از گسل برای سازه‌های دهانه ۷ متری در مقایسه با دهانه ۵ متری ارائه شده است.



شکل ۳۱ برش طبقات سازه‌های ۴ طبقه



شکل ۳۲ برش طبقات سازه‌های ۷ طبقه

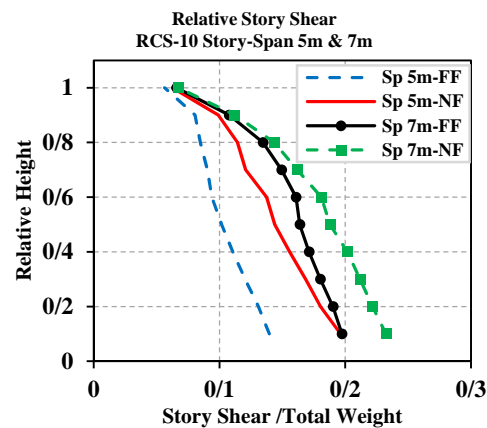
نتایج حاصل از شکل‌های شکل (۲۸) شکل (۲۹) نشان می‌دهند که هرچه طول دهانه بیشتر شود اختلاف بین دررفت و جابجایی ناشی از زلزله‌های دور از گسل و نزدیک از گسل کمتر می‌شود، و با افزایش تعداد طبقات اختلاف جابجایی و دررفت بین دو نوع رکورد دور از گسل و نزدیک از گسل کمتر می‌شود. این اثر بین سازه‌های دهانه ۵ متری و ۷ متری مشترک است. بیشترین اختلاف ناشی از رکوردهای دور از گسل و نزدیک گسل در محاسبه زاویه دررفت و جابجایی مربوط به سازه دهانه ۵ متری به ترتیب حدود ۳۲ درصد و ۴۲ درصد و برای سازه‌های دهانه ۷ متری تقریباً به ترتیب ۱۳ درصد و ۱۶ درصد مربوط به سازه‌های کوتاه مرتبه است. کمترین اختلاف ناشی از رکوردهای دور از گسل و نزدیک گسل در محاسبه زاویه دررفت و جابجایی مربوط به سازه دهانه ۵ متری به ترتیب حدود ۵ درصد و ۹ درصد و برای سازه‌های دهانه ۷ متری به ترتیب تقریباً ۴ درصد و ۲/۵ درصد مربوط به سازه‌های بلند مرتبه هستند.

شکل (۳۰) اختلاف زاویه دررفت بین سازه‌های با دهانه ۵ و ۷ متری را تحت زلزله‌های دور و نزدیک گسل بیان می‌کند که نتایج نشان می‌دهد، هر چه تعداد طبقات بیشتر گردد اختلاف دررفت بین سازه‌های با دهانه ۵ متری و ۷ متری تحت زلزله دور از گسل و نزدیک از گسل کمتر می‌شود. و در مقایسه نتایج دررفت دور و نزدیک از گسل می‌توان گفت که اختلاف دررفت بین دو نوع دهانه مورد بررسی، تحت زلزله‌های دور از گسل کمتر از همین اختلاف تحت زلزله‌های

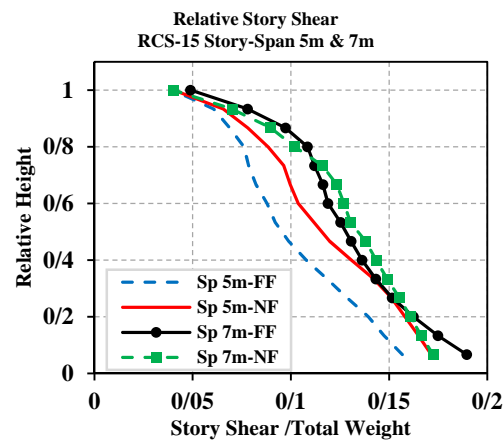
گسل در سازه‌های دهانه ۷ بیشتر از برش طبقات سازه‌ها با دهانه ۵ متری هستند و تحت زلزله دور از گسل نیز همین نتیجه مشاهده می‌گردد. با افزایش تعداد طبقات اختلاف مقادیر برش طبقات ناشی از زلزله‌های دور و نزدیک گسل کاهش می‌یابد که این اثر بین دهانه‌های ۵ و ۷ متری مشترک است به نحوی که مقادیر برش طبقات حاصل از سازه‌های دهانه ۷ متری از سازه‌های دهانه ۵ متری بیشتر است. از طرفی برش طبقات ناشی از دو نوع رکورد در سازه با دهانه ۷ متری بسیار به هم نزدیک هستند این در حالیست که این اتفاق با این وضوح برای سازه‌های دهانه ۵ متری رخ نداده است. برش پایه در سازه‌های با دهانه ۷ متری نشان می‌دهد که با افزایش ارتفاع سازه، برش پایه حاصل از زلزله‌های دور از گسل نسبت به زلزله‌های نزدیک گسل افزایش می‌یابد که این اثر در سازه‌های با دهانه ۵ متری مشاهده نشده است.

شکل (۳۶) ۶-۱۹، مقادیر اختلاف برش و نیروی طبقات تحت رکوردهای دور از گسل را در مقاسه با شتاب‌نگاشت‌های نزدیک از گسل بین سازه‌های دهانه ۷ متری و دهانه ۵ متری نشان می‌دهد.

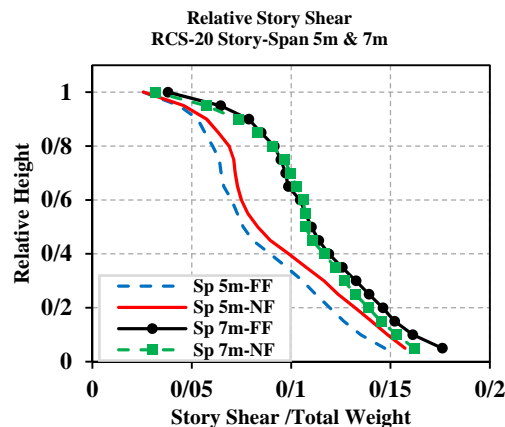
در شکل (۳۶) ۶-۱۹، هر چه طول دهانه بیشتر شود اختلاف بین دو مقدار برش طبقات سازه‌ها ناشی از دو نوع رکورد مورد مطالعه کمتر می‌شود و این در حالیست که هر چه تعداد طبقات بیشتر شود اختلاف برش طبقات بین رکورد دور و نزدیک از گسل نیز کمتر می‌شود. بیشترین اختلاف برش طبقات تحت زلزله‌های دور از گسل و نزدیک از گسل سازه‌های دهانه ۵ و ۷ متری به ترتیب به مقدار حدود ۱۳ و ۵ درصد مربوط به سازه‌های کوتاه مرتبه است و کمترین اختلاف برش طبقات سازه دهانه ۵ و ۷ متری به ترتیب به مقدار تقریبی ۲ درصد و ۱ درصد برای سازه‌های بلند مرتبه است.



شکل ۳۳ برش طبقات سازه‌های ۱۰ طبقه

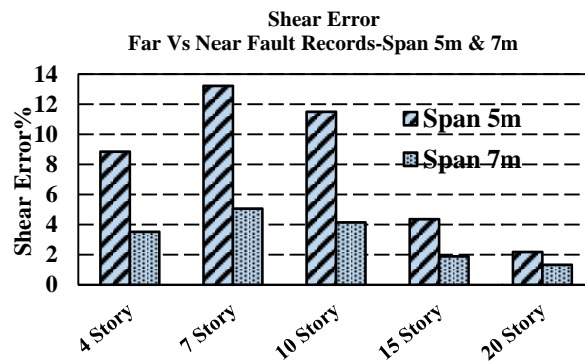


شکل ۳۴ برش طبقات سازه‌های ۱۵ طبقه

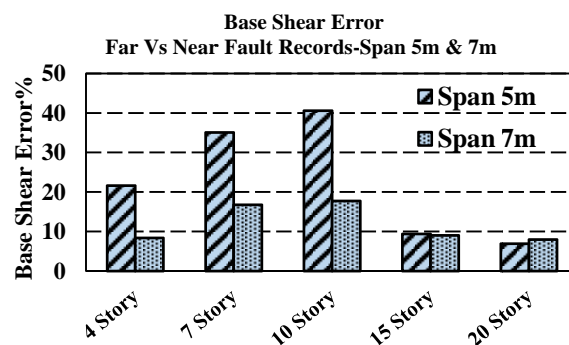


شکل ۳۵ برش طبقات سازه‌های ۲۰ طبقه

با توجه به نمودارهای شکل (۳۱) تا شکل (۳۵) می‌توان دریافت که برش طبقات ناشی از رکورد نزدیک



شکل ۳۶ اختلاف ناشی از رکوردهای نزدیک و دور از گسل در محاسبه برش طبقات در سازه‌های مورد مطالعه



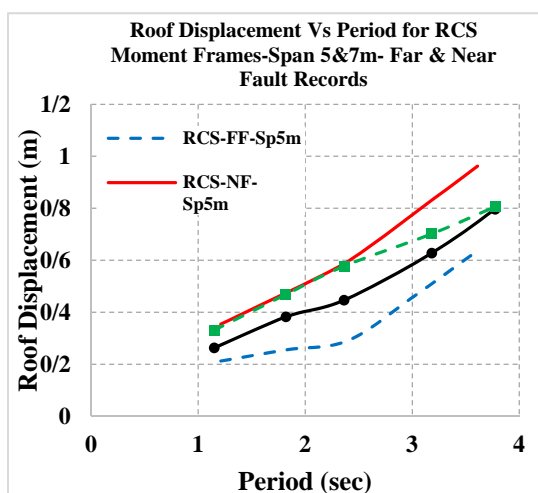
شکل ۳۷ اختلاف ناشی از اثر طول دهانه در محاسبه برش پایه در سازه‌های مورد مطالعه تحت رکوردهای نزدیک و دور از گسل

نوع دهانه به هم نزدیک هستند در حالیکه در پیوندهای بالاتر این جابجایی در سازه‌های دهانه ۵ متری بیشتر است. اما ناشی از رکوردهای دور از گسل در تمام پیوندها جابجایی بام ناشی از دهانه ۷ متری بیشتر از دهانه‌های ۵ متری است. از طرفی در هر دو نوع طول دهانه، این جابجایی ناشی از نزدیک گسل بیشتر از دور از گسل است. در رابطه با برش پایه در این نمودارها می‌توان گفت که برش پایه ناشی از هر دو نوع رکورد در دهانه‌های ۷ متری بیشتر از همان رکوردها در دهانه ۵ متری است و از طرفی در پیوندهای بیشتر، در دهانه ۷ متری برش پایه ناشی از رکورد دور از گسل بیشتر از نزدیک گسل شده است. و این نشان می‌دهد که در سازه‌های بلند مرتبه دهانه ۷ متری در رابطه با برش پایه، رکوردهای دور از گسل حاکم هستند. در حالیکه در تمام سازه‌های دهانه ۵ متری نزدیک گسل حاکم است.

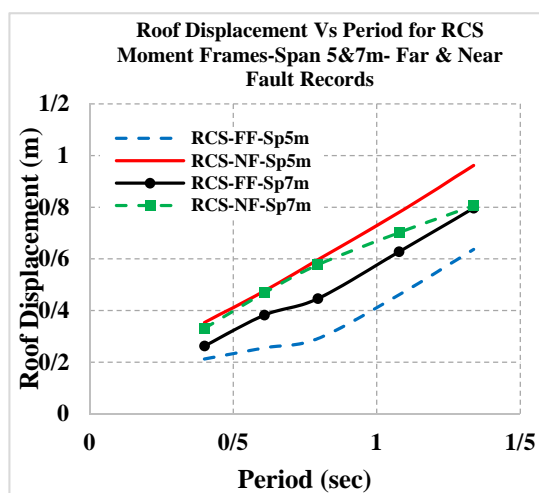
از شکل (۳۷) می‌توان مشاهده کرد که اثر زلزله نزدیک گسل بر برش پایه در سازه‌های کوتاه مرتبه و میان مرتبه هر دو نوع دهانه بیشتر از سازه‌های بلند مرتبه است، به نحوی که کمترین اختلاف برش پایه در سازه‌های دهانه ۵ متری در حدود ۷ درصد و در سازه‌های دهانه ۷ متری در حدود ۸ درصد است. اختلاف برش پایه بین رکوردهای دور و نزدیک گسل سازه‌های کوتاه مرتبه و میان مرتبه در سازه‌های با دهانه ۵ متری به مراتب بیشتر از سازه‌های با دهانه ۷ متری است.

در شکل‌های (۳۸ و ۳۹-۶) تا شکل (۴۱ و ۴۰-۶) نمودارهای مربوط به جابجایی بام و برش پایه بر حسب زمان تناوب آیین نامه ۲۸۰۰ و زمان تناوب مود اول نوسان سازه‌ها آورده شده است.

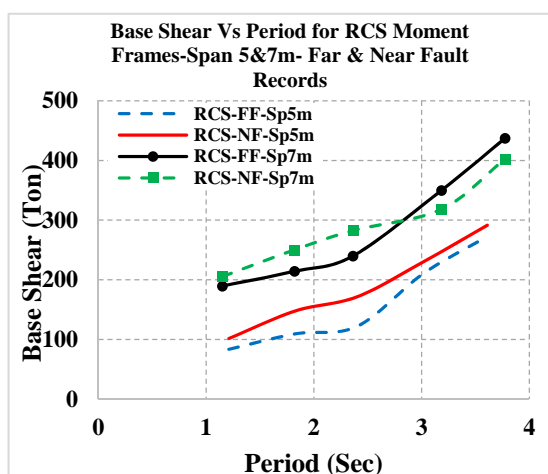
جابجایی بام ناشی از رکوردهای نزدیک گسل در سازه‌های کوتاه مرتبه (پیوندهای پایین تر)، در هر دو



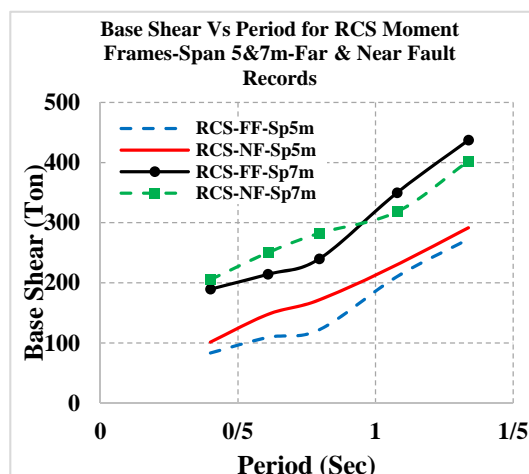
شکل ۳۹ جابجایی بام در مقابل پریود مود اول نوسان ناشی از رکوردهای نزدیک گسل و دور از گسل برای سازه‌های مرکب



شکل ۳۸ جابجایی بام در مقابل پریود آیین نامه ۲۸۰۰ ناشی از رکوردهای نزدیک گسل و دور از گسل برای سازه‌های مرکب



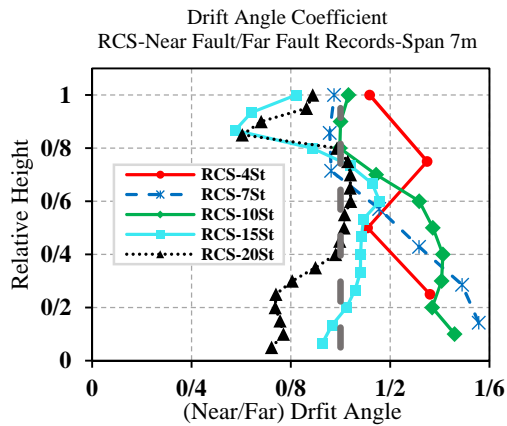
شکل ۴۱ برش پایه در مقابل پریود مود اول نوسان ناشی از رکوردهای نزدیک گسل و دور از گسل برای سازه‌های مرکب



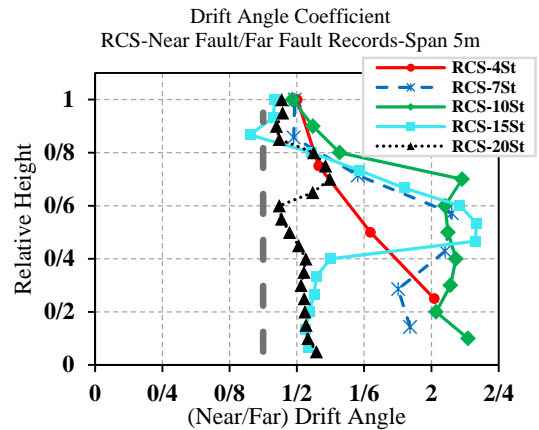
شکل ۴۰ برش پایه در مقابل پریود آیین نامه ۲۸۰۰ ناشی از رکوردهای نزدیک گسل و دور از گسل برای سازه‌های مرکب

کننده بیشتر بودن نتایج رکورد نزدیک گسل بیشتر از دور از گسل است.

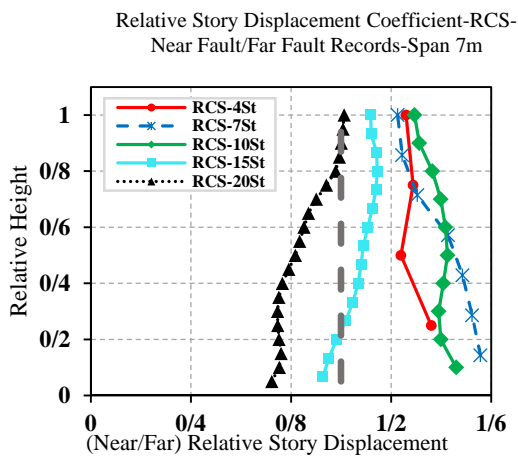
در شکل (۴۲) تا شکل (۴۷) نمودار نسبت زاویه دریافت، جابجایی و برش طبقات ناشی از رکورد نزدیک گسل به رکورد دور از گسل سازه‌های با دهانه ۵ متری و ۷ متری ارائه شده است. محدوده برابری نتایج رکورد نزدیک گسل و دور از گسل مشخص شده است و طبق آن نقاطی از نمودارها که بیشتر از ۱ شده اند مشخص



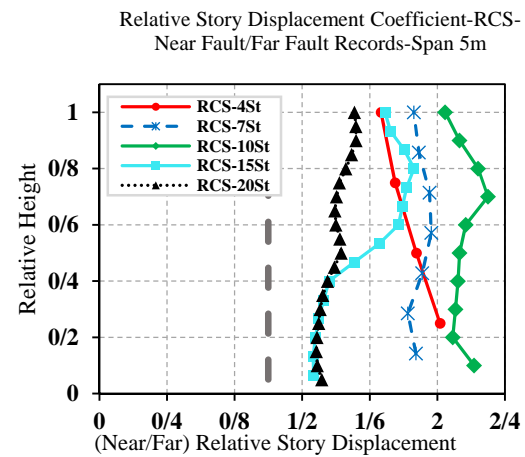
شکل ۴۳ نسبت زاویه دررفت طبقات ناشی از رکورد نزدیک گسل به رکورد دور از گسل سازه‌های با دهانه ۷ متری



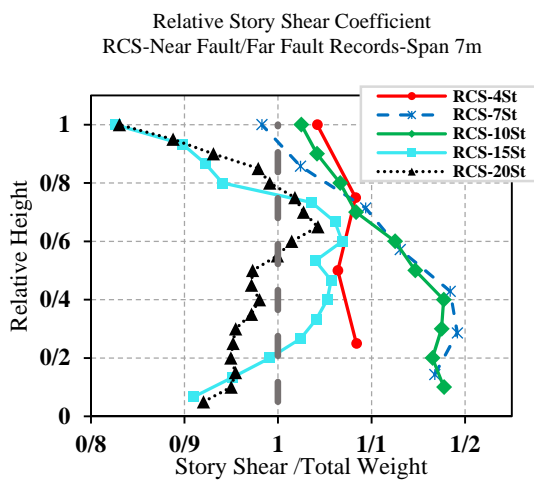
شکل ۴۲ نسبت زاویه دررفت طبقات ناشی از رکورد نزدیک گسل به رکورد دور از گسل سازه‌های با دهانه ۵ متری



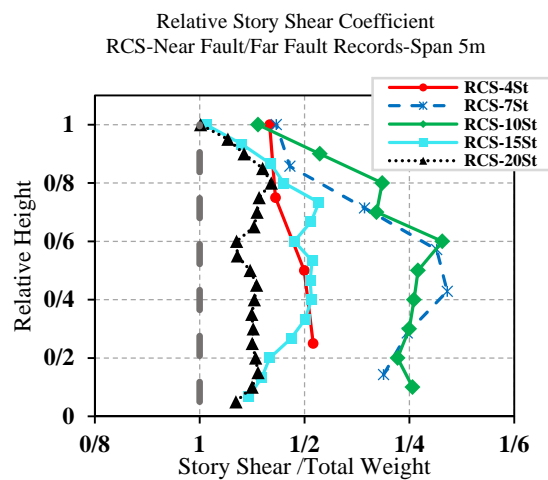
شکل ۴۵ نسبت جابجایی طبقات ناشی از رکورد نزدیک گسل به رکورد دور از گسل سازه‌های با دهانه ۷ متری



شکل ۴۴ نسبت جابجایی طبقات ناشی از رکورد نزدیک گسل به رکورد دور از گسل سازه‌های با دهانه ۵ متری

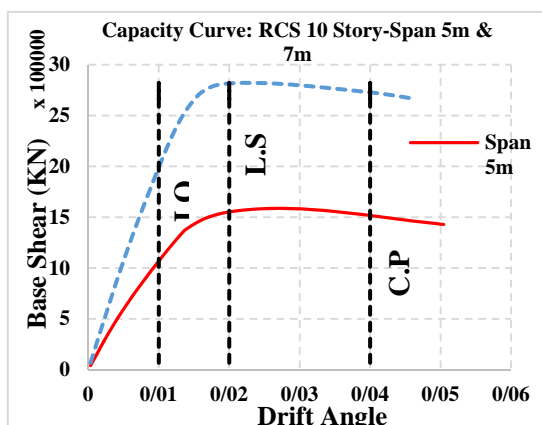


شکل ۴۷ نسبت برش طبقات ناشی از رکورد نزدیک گسل به رکورد دور از گسل سازه‌های با دهانه ۷ متری

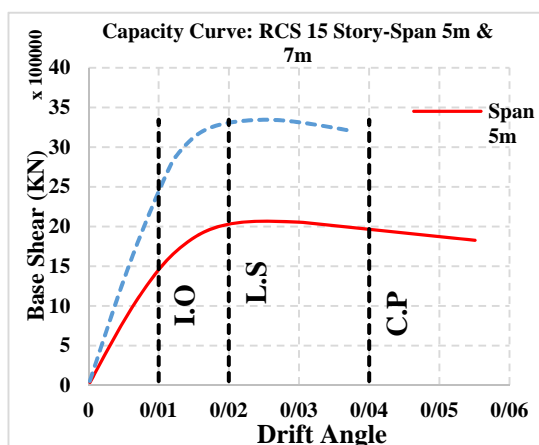


شکل ۴۶ نسبت برش طبقات ناشی از رکورد نزدیک گسل به رکورد دور از گسل سازه‌های با دهانه ۵ متری

یافته است.



شکل ۴۸ منحنی ظرفیت سازه‌های ۱۰ طبقه مرکب



شکل ۴۹ منحنی ظرفیت سازه‌های ۱۵ طبقه مرکب

نتیجه‌گیری

۱. جابجایی و زاویه دررفت طبقات سازه‌های با دهانه ۵ متری تحت رکورد نزدیک گسل بیشتر از جابجایی و زاویه دررفت ناشی از رکوردهای دور از گسل است. در حقیقت به دلیل بیشتر بودن انرژی ورودی به سازه در اثر زلزله‌های نزدیک گسل در کلیه سازه‌های مورد بحث جابجایی ناشی از زلزله‌های نزدیک گسل بیشتر از جابجایی ناشی از زلزله‌های دور از گسل می‌باشد.
۲. با افزایش تعداد طبقات اختلاف جابجایی و زاویه دررفت ناشی از رکوردهای دور و نزدیک گسل

شکل (۴۲) و شکل (۴۳) نشان می‌دهد که در

همه سازه‌های دهانه ۵ متری نتایج زاویه دررفت ناشی از نزدیک گسل بیشتر از زاویه دررفت ناشی از زلزله های دور از گسل است. از طرفی سازه‌های بلند مرتبه دهانه ۷ متری در طبقات تحتانی و فوقانی زاویه دررفت ناشی از دور از گسل بیشتر از زاویه دررفت نزدیک گسل است و در بقیه سازه‌ها زاویه دررفت نزدیک گسل بیشتر از دور از گسل است. و از طرفی در سازه میان مرتبه در طبقات فوقانی نتایج دور و نزدیک گسل برابر شده اند.

شکل (۴۴) و شکل (۴۵) نشان می‌دهد که

جابجایی طبقات ناشی از رکوردهای نزدیک گسل بیشتر از دور از گسل است. اما در دهانه های ۷ متری، جابجایی سازه‌های بلند مرتبه ناشی از دور از گسل بیشتر از نزدیک گسل است. شکل (۴۶) و شکل (۴۷) نیز نشان می‌دهد که برش طبقات همه سازه‌های دهانه ۵ متری ناشی از رکوردهای نزدیک گسل بیشتر از برش طبقات ناشی از رکوردهای دور از گسل است. اما در مورد سازه‌های دهانه ۷ متری در سازه‌های بلندمرتبه برش طبقات تحتانی و فوقانی ناشی از رکوردهای دور از گسل بیشتر از نزدیک گسل است.

به منظور بررسی ظرفیت قاب‌های RCS از تحلیل

استاتیکی غیرخطی با الگوی بار مثلثی استفاده شده است. و نتایج برای سازه‌های ۱۰ و ۱۵ طبقه در شکل های (۴۸) و (۴۹) ارائه گردیده است. تغییر مکان هدف با استفاده از نشریه ۳۶۰ [۲۱] برای قاب‌های مورد نظر محاسبه شده است. محدوده سطح عملکرد قابلیت استفاده بی وقفه (I.O)، ایمنی جانی (L.S) و آستانه فروریزش (C.P) نیز بر اساس FEMA356 [19] نشان داده شده است. طبق نمودارهای مذکور می‌توان دریافت که با افزایش طول دهانه ظرفیت نهایی قاب مرکب افزایش یافته است که این امر نشانگر مزیت تیرهای فولادی در پوشش دهانه‌های بلند است. از طرفی با افزایش طول دهانه شکل پذیری قاب مرکب کاهش

- کاهش می یابد.
۳. برش پایه سازه‌های دهانه ۵ متری تحت رکورد نزدیک گسل بیشتر از برش پایه تحت رکوردهای دور از گسل است و با افزایش تعداد طبقات این اختلاف کاهش می یابد.
۴. با افزایش طول دهانه در سازه کوتاه مرتبه اثر زلزله نزدیک گسل حاکم است و در سازه‌های بلند مرتبه اثر زلزله دور از گسل حاکم است. در حقیقت با افزایش طول دهانه اثر زلزله دور از گسل در سازه‌های بلند بیشتر می شود.
۵. با افزایش طول دهانه اختلاف برش پایه ناشی از زلزله های دور و نزدیک گسل کمتر می شود.
۶. در همه سازه‌های دهانه ۵ متری نتایج زاویه دررفت ناشی از نزدیک گسل بیشتر از زاویه دررفت ناشی از
- زلزله های دور از گسل است. از طرفی سازه‌های بلند مرتبه در دهانه های ۷ متری، جابجایی سازه‌های بلند مرتبه ناشی از دور از گسل بیشتر از نزدیک گسل است.
۸. سازه‌های بلندمرتبه دهانه ۷ متری برش طبقات تحتانی و فوقانی ناشی از رکوردهای دور از گسل بیشتر از نزدیک گسل است.
۹. با افزایش طول دهانه ظرفیت نهایی قاب مرکب افزایش یافته است که این امر نشانگر مزیت تیرهای فولادی در پوشش دهانه‌های بلند است.

مراجع

1. P. Cordova, P. and G.G. Deierlein, "Validation of the seismic performance of composite RCS frames: full-scale testing, analytical modeling, and seismic design". The John A. Blume Earthquake Engineering Center Dept. of Civil and Environmental Engineering Stanford University, (2005).
2. G. G. Deierlein, "Design of moment connections for composite framed structures". University of Texas at Austin. (1988).
3. T. M. Sheikh, G.G. Deierlein, J. Yura, J. Jirsa, "Beam-column moment connections for composite frames: Part 1", *Journal of Structural Engineering*. Vol: 115(11): p. 2858-2876. (1989).
4. G. G. Deierlein, T.M. Sheikh, J. Yura, J. Jirsa, "Beam-column moment connections for composite frames: Part 2", *Journal of Structural Engineering*. Vol: 115(11): p. 2877-2896. (1989).
۵. س.ع.حسینی، م.م. رنجبر، ج. رزاقی، ر. مدن دوست، "بررسی اتصالات و تحلیل لرزه ای قاب مرکب فولادی و بتنی (RCS)"، پایان نامه کارشناسی ارشد، دانشگاه گیلان، (۱۳۸۳).
۶. س.ع.حسینی، ج. رزاقی، س. پورزینعلی، ع. حسین نژاد، "تحلیل قابلیت اعتماد قاب‌های مختلط RCS"، دومین کنگره ملی مهندسی عمران، تهران، دانشگاه علم و صنعت، عمران، (۱۳۸۴).
۷. ک. پرهیزگار، ح. آقابرانی، "بررسی قاب‌های خمشی مختلط RCS تحت بارگذاری لرزه ای"، سومین همایش ملی عمران شهری، سنندج، دانشگاه آزاد اسلامی واحد سنندج، (۱۳۹۰).
۸. م. حبشی زاده، م. چنقلو، ک. عابدی و ح. افشین، "مدلسازی قاب‌های خمشی ویژه RCS و بررسی رفتار اتصالات بر روی رفتار کلی این قاب‌ها"، نشریه مهندسی عمران و محیط زیست، جلد ۴۴، شماره ۲، (۱۳۹۳).

۹. ح. اسدی مندی، م. حسینعلی بیگی، امینی راد، "بررسی ضوابط طراحی سازه‌های مرکب بر اساس آیین نامه های AISC, EUROCODE و مقایسه فنی و اقتصادی آنها"، پایان نامه کارشناسی ارشد، دانشگاه علوم و فنون مازندران، دانشگاه صنعتی خواجه نصیرالدین طوسی، (۱۳۸۰).
۱۰. ه. حبیب آگهی، ع. سلاجقه، ج. سلاجقه، "بهبود سازی عملکردی و اطمینان پذیری سازه‌های ترکیبی RCS"، پایان نامه کارشناسی ارشد، دانشگاه شهید باهنر کرمان، (۱۳۸۷).
11. Chen C. H, Lai W. C, Cordova P, Deierlein G. G, Tsai K. C. "Pseudo-dynamic test of full-scale RCS frame: Part I – Design, Construction, and Testing", to appear in NCREE Workshop Proceedings. (2004).
12. Cordova P, Deierlein G. G. "Validation of the seismic performance of composite RCS frames: full-scale testing, analytical modeling, and seismic design".The John A. Blume Earthquake Engineering Center Dept. of Civil and Environmental Engineering Stanford University. (2005).
13. OpenSees, "Open System for Earthquake Engineering Simulation", Available from URL: <http://opensees.berkeley.edu>, (2009).
14. ACI 318-08, Building Code Requirements for Structural Concrete and Commentary, Portland Cement Association, American Concrete Institute, (2008).
15. AISC 360-05, Specification for Structural Steel Buildings. American Institute of Steel Construction, A ANSI - Inc: Chicago, IL, (2005).
16. ASCE 7-10. Minimum Design Loads for Buildings and Other Structures, American Society of Civil Engineers, ISBN 978-0-7844-1085-1, (2010).
17. <http://ngawest2.berkeley.edu/> [Online].
۱۸. کمیته دائمی بازنگری آیین نامه طراحی ساختمان‌ها در برابر زلزله، آیین نامه طراحی ساختمان‌ها در برابر زلزله (استاندارد ۲۸۰۰-۹۲) ویرایش چهارم، تهران، مرکز تحقیقات ساختمان و مسکن، (۱۳۸۴).
19. FEMA-356, "Prestandard and Commentary for the Seismic Rehabilitation of Buildings", ASCE (Funded by Federal Emergency Management Agency),(2000).
20. <http://seissoft.com/en/Download.aspx>.
۲۱. دستورالعمل بهسازی لرزه‌ای ساختمان‌های موجود نشریه شماره ۳۶۰، سازمان مدیریت و برنامه‌ریزی کشور، (۱۳۸۵).